

رخسارهای کانسار روی- سرب (مولیدن) احمدآباد، شمال خاور بافق و مقایسه آن با کانسار بلایرگ (Bleiberg) در آلب

نوشته: علی رضا جوانشیر^{*}، ابراهیم راستاد^{*}، احمد رضا ربانی^{**}

^{*}بخش زمین شناسی، دانشگاه تربیت مدرس، تهران، ایران

^{**}دانشکده مهندسی نفت، دانشگاه صنعتی امیرکبیر، تهران، ایران

تاریخ پذیرش: ۱۳۸۶/۰۴/۱۸

تاریخ دریافت: ۱۳۸۶/۱۲/۰۴

چکیده

کانسار روی- سرب (مولیدن) احمدآباد در بلوک پشت بدام از پهنه ایران مرکزی و در کمر بند کانه زایی روی و سرب کوه بنان- بهاباد قرار دارد. این کانسار با ژئومتری عدیمی شکل، هم روند با لایه بندی و گاه رگه ای و به گونه چینه کران محدود به واحد دولومیتی سازند شتری (تریاس میانی) است. نتایج تجزیه نمونه ها، میانگین روی ۹ درصد، میزان میانگین سرب را ۵ درصد و میانگین مولیدن را ۷/۰ درصد نشان داده است. مطالعه مقاطع سنگ چینه شناسی نشان می دهد که کانه زایی در یک موقعیت چینه ای خاص و در ارتباط با رخسارهای روسی و پوشش از جمله رخسارهای اتواسپارایت دولومیتی، گرینستون اتوییدی و دولوسپارایت رخ داده است. بافت و ساخت کانه ها، شامل لامینه، دانه پراکنده، فضای پر کن، توده ای، رگه- رگچه ای، استیلولیت و جانشینی است. وجود بافت هایی از کانه از قبیل لامینه، دانه پراکنده و استیلولیت که در ارتباط با رخساره گرینستون اتوییدی می باشد، بیانگر تشکیل کانه ها در مراحل دیاژنز و در یک محیط سدی است. به دلیل تأثیر عملکرد گسل ها، و ایجاد ساختارهای فراز مین- فروزنین و تأثیر شدید فرایندهای سوپرژن در منطقه، کانه ها به طور عمده به صورت غیر سولفیدی (همی مورفیت، سرو سیست و لفنت) و به مقدار کمتر سولفیدی همچون گالن، اسفالریت، ورتیت و پیریت دیده می شوند. کانه های فلوریت، سلسیت و ژپس نیز به طور فرعی حضور دارند. نبود مس و نقره از ویژگی های مهم و قابل ذکر این کانسار است. ویژگی هایی همچون سنگ درون گیر کربناتی با سن تریاس، ساخت و بافت دانه پراکنده و لامینه، ژئومتری عدیمی شکل و هم روند با لایه بندی، برتری روی به سرب، نبود توده های آذرین، نبود کانه زایی مس و نقره در کانسار احمدآباد، همگی نشانگر آن است که این کانسار در شرایط مشابه با کانسار روی و سرب تیپ بلایرگ (Bleiberg) در آلب اتریش تشکیل شده است. وجود شواهد مشابه در دو کانسار احمدآباد (ایران) و بلایرگ از جمله حضور لفنتی به همراه روی و سرب در کانسنگ های تریاس و شواهد ساختی و بافتی سبب شده تا کانسار احمدآباد با نگرشی نو با این رده جهانی از کانسارهای روی و سرب (کانسارهای تیپ آلبی) مورد مقایسه قرار گیرد.

کلیدواژه ها: رخسارهای کانه دار، کانسار روی- سرب (مولیدن)، سازند شتری، احمدآباد، کانسار بلایرگ، کانسارهای تیپ آلبی.

۱- مقدمه

شمار می رود که در فاصله ۸۰ کیلومتری شمال خاور بافق و ۵ کیلومتری باخته روستای احمدآباد، در مختصات جغرافیایی $30^{\circ} ۵۵' ۵۳''$ طول خاوری و $۵۷^{\circ} ۰۰' ۳۱''$ عرض شمالی، واقع شده است (شکل ۱). سابقه بهره برداری در این معدن به سال ۱۳۵۳ بر می گردد، استخراج با حفر ۸ تونل دنباله رو و با روش اتاق و پایه انجام گرفته است (کان ایران، ۱۳۷۱). شواهد حاکی از آن است که استخراج فقط برای برداشت روی و سرب (مجموع ۱۵٪) بوده و شناختی از مولیدن و کانی شناسی آن وجود نداشته است. اولین شناسایی لفنت در این محدوده به سال ۱۳۸۱ و در خلال اکتشاف و پی جویی مواد معدنی توسط کارشناسان سازمان زمین شناسی (تاج الدین، ۱۳۸۱) باز می گردد. این مقاله، ضمن معرفی رخسارهای کانه دار کانسار چینه کران احمدآباد در دولومیت های سازند شتری و پتانسیل بالای این سازند، در یک بررسی تاریخی ای حضور مولیدن، علاوه بر کانسار احمدآباد، در دو کانسار آب حیدر و تاج کوه نیز در این محور، گزارش شده است. از این رو مطالعه این کانسار می تواند به عنوان یک الگو در اکتشاف رخدادهای معدنی مشابه در محور کوه بنان- بهاباد استفاده شود.

۲- زمین شناسی

منطقه مورد مطالعه در پهنه زمین ساختی - روسی ایران مرکزی و در بلوک پشت بدام قرار دارد (Alavi, 1991). نکته اساسی این بلوک رخنمون های دگرگونی منسوب به پر کامبرین است که بیشتر از نوع سنگ های دگرگونی آتشفسانی- آواری و آذرآواری به همراه مرمرهای آهکی و دولومیتی است. در این بلوک سنگ های

در سرزمین ایران، تاکنون بیش از ۶۰۰ کانسار و نشانه معدنی سرب و روی شناخته شده است، که برخی از این کانسارها (انگوران و مهدی آباد) در شمار کانسارهای بزرگ سرب و روی جهان هستند. اما تاکنون در این کانسارها مولیدن همراه با سرب و روی در سنگ کربناتی گزارش نشده است. همه ذخایر مولیدن ایران، همراه با کانسارهای مس پورفیری (سرچشم، میدوک و سونگون) و چند کانسار رگه ای مس معزوف شده اند (قربانی و همکاران، ۱۳۷۹). در محور کوه بنان - بهاباد (جنوب خاور استان یزد) در ایران مرکزی، تعداد زیاد کانسار و نشانه معدنی روی و سرب وجود دارد (سبزه ای و افروز، ۱۳۶۹)، که شمار آنها به بیش از ۴۰ می رسد. بیشتر این کانسارهای دارای آثار معدن کاری شدادی هستند و در گذشته های دور و با تاریخ نامشخص، عملیات معدن کاری زیرزمینی با مهارت بسیار زیاد بر روی آنها انجام شده است (امیری، ۱۳۸۴). کانسارهای یاد شده به طور عمده در سنگ های رسوی کربناتی (دولومیت و آهک) منتب به پالوزوییک بالایی، تریاس و کرتاسه قرار دارند (Huckride et al., 1962). مطالعه این کانسارها نشان می دهد که بجز تعداد محدودی از آنها که سن دونین (کوه سنگ پنبه و فادری) و یا کرتاسه (دهنه باغها) دارند، اکثر قریب به اتفاق کانسارها متعلق به تریاس و سازند شتری است، که بیش از هر چیز اهمیت این سازند کانه دار را در ایران مرکزی و همچنین سازند هم ارز آن در البرز (الیکا) آشکار می سازد (مؤمن زاده، ۱۳۵۹؛ شمس و فتحیان پور، ۱۳۶۸). وجود کانی سازی غیر سولفیدی شامل انواع کربنات و سیلیکات روی و کربنات سرب، در بیشتر این کانسارها، از ویژگی های بارز این کانسارها به شمار می آید. کانسار روی، سرب و مولیدن احمدآباد یکی از کانسارهای غیر سولفیدی این محور به

نمونه برداری دقیق قرار گرفت (شکل ۴). براساس مطالعات میکروسکوپی و نمونه دستی، ۸ رخساره رسوی شناسایی گردید. مقاطع نازک از نظر آلومینیم های سازنده، میزان سیمان و زمینه، ویژگی های بافتی و پیامدهای دیاژنتیکی مورد بررسی قرار گرفت و سرانجام با تلفیق داده ها، رخساره های موجود در ۴ گروه محیطی رده بندی شدند که عبارتند از:

- رخساره پهنه کشندی
- رخساره های محیط پشت سدی (لاگون)
- رخساره های محیط سدی
- رخساره های محیط دریای باز

در ادامه زیر رخساره های هر محیط به اختصار توضیح داده خواهد شد.

۱-۳- رخساره پهنه کشندی

- رخساره زیست آواری گرینستون

نمونه های مطالعه شده از این رخساره، در مقاطع زمین شناسی مختلف شباهت بسیار زیادی به هم دارند و تنها تفاوت بارز، در نمونه های مطالعه شده، در میزان مواد تخریبی (کوارتز) آنها است. در نمونه های پایینی این رخساره، درصد مواد تخریبی بیشتر است و به سمت بالا از میزان آنها کاسته می شود. ستبرای این رخساره در مجموع ۴۰ متر برآورد می شود. ساختارهای ویژه جلبکی به صورت آشفتگی زیستی (Bioturbation) در آن دیده شده و رگچه های کلستیت اسپارایتی نیز به فراوانی حضور دارند. وجود بافت گرینستون و ساختارهای ویژه جلبکی به شکل الیاف گیاهی (Filament)، که مختص جلبک های آبی- سبز است، بینگر محیط پهنه کشندی با یک پستر گلی است (فیض نیا، ۱۳۷۷).

۲-۳- رخساره های محیط پشت سدی (لاگون)

- رخساره بُل میکرایت دولومیتی شده

بعض اعظم سنگ، در این رخساره، میکرایتی و بینگر محیط آرام است. قطعات پراکنده ای از پلت، که آنها هم میکرایتی شده اند، در رخساره دیده می شود. از جمله فرایندهای دیاژنتیکی مؤثر در این رخساره می توان به دولومیتی شدن و تبلور دوباره اشاره کرد، که همراهی بلورهای اکسید آهن با بخش های تبلور دوباره یافته، به طور کامل مشهود است. دولومیتی شدن در فضاهای خالی سبب رشد سیمان دیاژنتیک از جنس دولومیت شده است که به صورت سیمان درشت بلور از جنس دولومیت های ابری مشاهده می شود. چنین سیمان دولومیتی با بلورهای درشت، به محیط لاگونی با محتوای منیزیم بالا نسبت داده می شود و بینگر فابریک poikilotopic در محیط دیاژنر دفنی است (Flugel, 2004 & Carrozi, 1989). این رخساره ۴۸ متر ستبرای دارد.

- رخساره زیست آواری پکستون دولومیتی

اجزای اصلی تشکیل دهنده این رخساره، دانه های پلوید فراوان و قطعات جلبکی است. بلورهای دولومیت، که ۴۰ درصد این رخساره را تشکیل می دهند، در زمینه ای از میکرایت مشاهده می شوند. جلبک ها به شکل لایه ای و یا منفرد هستند که گاه چهره ای لامینه به رخساره می دهند. این جلبک ها از نوع Halimeda و از خانواده جلبک های سبز هستند که به محیط مردابی تعلق دارند.

۳-۳- رخساره های محیط سدی

- رخساره کانهدار اُلووید گرینستون

آلومینیم این رخساره دانه های اثویید است که در متنی از سیمان کلستیت اسپاری قرار گرفته است. اثوییدها بسیار فراوان هستند و تقریباً اصلی ترین سازنده سنگ به شمار می روند. سایر آلومینیم ها شامل قطعات آنکوئیدی و ذرات آواری کوارتز هستند. اثوییدهای

پالئوزوییک بالایی- ژوراسیک گسترش محدود دارند و به نظر می رسد پدیده کافی شدن از ویژگی های این بلوک باشد (آقاباتی، ۱۳۸۳). زمین شناسی و واحدهای سنگی منطقه به شدت از عناصر ساختاری متأثر شده است. این منطقه، در یک بلوک گسلی (محدود بین گسل های احمدآباد، بُنه-انار و اسفنگ) قرار گرفته (شکل ۲) و مجموعه واحدهای این بلوک که شامل طبقات کربناتی تریاس میانی، گچ و آهک تریاس بالا و شیل و ماسه سنگ ژوراسیک است، از روند گسل کوهبنان با امتداد شمال باختری- جنوب خاوری تبعیت کرده اند. همروندی تمامی واحدهای در سامانه ترافشارشی گسل کوهبنان، نشان می دهد که این منطقه، در سامانه کافی ایران مرکزی، قبل از قرار گرفتن در پهنه برشی ناشی از گسل کوهبنان، ابتدا در راستای شمال خاوری- جنوب باختری تحت اثر فشارش قرار گرفته و در اثر مقاومت بلوک لوت در خاور، به صورت فرازمین- فروزمن واکنش کرده است (کمالی، ۱۳۸۳). این بلوک سپس در اثر عملکرد گسل کوهبنان و گسل های موازی آن، مانند گسل راندگی احمدآباد، برگشته و چین خورده است. کانسار احمدآباد، در بلوک گسلی ذکر شده و در یال برگشته یک تاقیدیس با محوری به سوی خاور (شکل ۳)، جای گرفته است (تاج الدین و دری، ۱۳۸۳). در این بلوک گسلی، توالی لایه ها واژگون است. بر این اساس، واحدهای تریاس میانی تا بالایی (سازند شتری و ناییند) با روند شمال باختری- جنوب خاوری و با شبیه به سمت جنوب، به طور هم شبیب بر روی واحدهای ژوراسیک (سازند شمشک) قرار گرفته اند (شکل ۳)، شبیب عمومی واحدهای حدود ۳۰ درجه و به سمت SSW است. واحدهای سنگی منطقه احمدآباد، بر اساس نقشه زمین شناسی ۱:۵۰۰۰ (کان ایران، ۱۳۷۱) که توسط برداشت های دقیق تر تصحیح شده (جوانشیر و همکاران، ۱۳۸۵)، از قدیم به جدید عبارتند از (شکل ۳):

- ماسه سنگ و کنگلولمرات کامبرین (۱۴) که باختر گسل بُنه انار را پوشانده است.
- آهک خاکستری با لایه بندی متوسط و فسیل کرینویید، متعلق به تریاس میانی، سازند شتری (TR_{sh1}) - ستبرای ۶۰ متر.

- دولومیت خاکستری تا زرد با لایه بندی ستبرای تا تودهای (TR_{sh2}) - ستبرای ۸۰ متر.

- دولومیت تودهای قهوه ای (TR_{sh3}) - ستبرای ۵۰ متر (واحد میزان کانه).

- آهک دولومیتی با لایه بندی مشخص و نوارهای خاکستری روشن و تیره (TR_{sh4}). این واحد باستبرای ۲۰ متر معادل سازند اسپهک بوده، بالاترین عضو سازند شتری در تریاس میانی به شمار می آید.

- گچ، مارن و میان لایه های دولومیت خاکستری رنگ با ستبرای ۱۲ متر (TR_{nb1}).

- شیل، شیل آهکی و میان لایه های آهک به رنگ سبز تا خاکستری و رنگ سطحی زرد آجری با ستبرای ۲۰ متر (TR_{nb2}). این واحد نازک لایه و نسبتاً نرم است و به همراه واحد قبلی سازند ناییند (تریاس بالا) را تشکیل می دهد.

- شیل، ماسه سنگ و چند میان لایه آهک نازک لایه مربوط به ژوراسیک و سازند شمشک با ستبرای ۸۵ متر (J_{sh}, J_l).

- وبالآخره رسوبات عهد حاضر که به صورت آبرفت دشت های پیرامون ارتفاعات را پُر کرده اند (Q^a, Q^{al}).

۳- تحلیل رخسارهای و رخسارهای کانهدار

مطالعات تحلیل رخسارهای، در احمدآباد، با استفاده از سه مقطع سنگ چینه شناسی، صورت پذیرفت. دو مقطع در حوالی معدن (مقاطع A-A' و B-B' در شکل ۳) و مقطع C-C' به منظور پوشش تمام واحدهای رخنمون یافته در محدوده، در فاصله دورتری در نظر گرفته شد (شکل ۳). مقطع به صورت عمود بر روند لایه بندی، با در نظر گرفتن تفاوت های سنگ شناسی، رنگ ظاهری، تغییرات ساخت و بافت و توجه به تغییرات جانبی واحدهای، برای مطالعات رخساره ای و زمین شیمیایی مورد

دولومیت به شکل جزیره‌ای توسط ماده معدنی احاطه می‌شوند (شکل ۷-B). این رخساره، با وجود تغییر جانی، حدود ۲۰–۲۵ متر سبک دارد.

رخساره کانه‌دار دولواسپارایت (حاوی کانه‌های سرب و روی) در کانسار آپی بلاپرگ، در تریاس میانی اُتریش، نیز به خوبی مطالعه و گزارش شده است (Schroll, 1996).

- رخساره و کستون میکرایتی

در این رخساره، که ۳۰ متر سبک دارد، تمام زمینه سنگ از میکرایت تشکیل شده و قطعات پراکنده‌ای از پلت و پیریت بسیار ریز و اکسیده در آن دیده می‌شود. شاید بتوان نام Sparse Pellmicrite را نیز برای این رخساره به کار برد. میکرایتی شدن به شدت اجزای ساختاری رخساره را تحت تأثیر قرار داده و تشخیص آنها را دشوار کرده است. اصطلاح میکرایتی شدن نیز، به دلیل محو کردن آثار پلت‌ها، به کار برد می‌شود. این اصطلاح نخستین بار برای تغییرات (دگرسانی) همزاد و دیازنیکی که اجزای اسکلتی را تحت تأثیر قرار می‌داد، به کار گرفته شد. اما بعداً این فرایند، در تغییر پلویید-گرینستون نرم به و کستون در رخساره‌های ریفی تریاس اروپا، از فرایندهای مهم شناخته شد (Flugel, 2004). تجزیه‌های شیمیایی، مقدار بالای از نیزیم را در این رخساره نشان داده‌اند که با وجود عدم مشاهده دولومیت، می‌توان این واحد را نیز جزء اجزای دولومیتی واحد TR_{sh3} بشمرد. بجز پیریت، کانه‌زایی در این رخساره به طور محدود و به صورت رگچه‌های گالان دیده می‌شود و می‌توان چنین عنوان کرد که حد نهایی کانه‌زایی در این رخساره است و از رخساره بعدی که با تغییر محیط رسوبی نیز همراه است، کانه‌زایی مشاهده نمی‌شود.

- ۴-۳- رخساره محیط دریای باز

- رخساره مادستون آهکی

این رخساره دارای زمینه میکرایتی است، اما قطعات معدودی ایترالکست هم در آن مشاهده می‌شود که دارای یک حاشیه اسپاری شفاف است. مطالعات نشان می‌دهد که رخساره پس از تشكیل دچار تنش و شکستگی شده و شکستگی‌ها توسط کلسیت پر شده‌اند. نوع دانه‌ها، بافت و رنگ رخساره (رنگ تیره) و ذرات پیریت بسیار ریز، نشان دهنده تشكیل آن در محیط‌های کم انرژی مانند دریای باز است (Flugel, 2004).

در مجموع محیط رسوبی تشكیل رخساره‌ها را می‌توان با توجه به الگوهای رسوبی، به صورت یک محیط رسوبی رمپ داخلی با شیبی ملایم در نظر گرفت که توسط یک سد از بخش‌های ساحلی قابل جدایش می‌باشد (شکل ۸). وجود همین محیط سدی می‌توانسته عاملی برای دولومیتی شدن و افزایش قابلیت کانه‌زایی رخساره‌ها باشد.

- ۴- تغییرات عناصر در مقاطع سنگ‌زمین شیمیایی

به منظور مطالعه و بررسی چگونگی توزیع زمین شیمیایی عناصر مختلف در توالی سنگ‌های رسوبی، در محدوده کاسار، نمونه‌های برداشت شده از سه مقطع سنگ‌زمین شیمیایی (شکل ۳)، به موازات مطالعات رخساره‌ای، برای مطالعات زمین شیمیایی نیز مورد استفاده قرار گرفت. بدین منظور اکسیدهای اصلی همچون MgO, SiO₂, F و عناصر کانسارساز Zn, Pb, Mo, Ba, Sr, Rb, Ag, Cu, Ni, Co (در کنار عناصر کلیدی ICP (در سازمان زمین‌شناسی) و XRF (در دانشگاه تربیت مدرس) تجزیه و تفسیر شد. بر اساس این مطالعات، عناصر روی، سرب و مولیبدن، در ارتباط با واحد دولومیتی (Zn:2%, Pb:742ppm, Mo:45ppm) و مقادیر TR_{sh3} افزایش چشمگیری داشته (Zn:2%, Pb:742ppm, Mo:45ppm) و مقادیر این عناصر در سنگ‌های بالا و پایین این رخساره بسیار کم است (جدول ۱ و شکل ۹). ضرایب همبستگی نشان می‌دهد که عناصر روی، سرب، مولیبدن، فلورور و استرونیم با هم روندی بسیار خوبی، با هم و با سیلیس (چرت) همبستگی دارند (شکل ۹). برای نمونه فقط داده‌های مربوط به مقطع سنگ‌زمین شیمیایی A-A' ذکر شده است.

سازنده سنگ، که از ۳۰ تا ۳۰۰ میکرون اندازه دارند، در پاره‌ای از موارد ساختار درونی خود را حفظ کرده و در بقیه موارد توسط گوتیت جانشین شده‌اند. هسته ائوییدها را قطعات پلوییدی و یا کوارتز تشكیل می‌دهند و در سایر موارد هسته سیمانی شده است. لامیناسیون ظرفی با تناوبی از لامینه‌های تیره و روش، در سنگ مشاهده می‌شود (شکل ۵-A) که در نوارهای تیره تجمع هیدروکسید آهن گوتیتی بیشتر است. تناوب لامینه‌های تیره و روش از ویژگی‌های این رخساره است. ماده معدنی، در این رخساره، به شکل گالن‌دانه‌پراکنده در متن سیمان اسپاری بین ائوییدها و گاه در هسته آتها مشاهده می‌شود (شکل ۵-B). عملکرد فرایندهای دیاژنتیکی در این رخساره سبب شده تا در اثر انحلال فشارشی، استیلولیت تشكیل شود. وجود ائوییدهای فراوان، لامیناسیون ظرفی، قطعات آلی و دانه‌پشتیبان، محیط تشكیل این رخساره را محیط سدی تا کشنده نشان می‌دهند (Flugel, 2004 & Reading, 1996).

- رخساره کانه‌دار دولومیتیک اُواسپارایت و دولواسپارایت

در این رخساره، ائوییدهای آلوکم حالت مرکب دارند و در بیشتر موارد ساختار درونی خود را از دست داده‌اند. این مسئله می‌تواند بینگر فرایند دولومیتی شدن در محیط باشد، ضمن آنکه میزان تخلخل در این رخساره زیاد است و گاه دارای تخلخل پنجره‌ای نیز هست (شکل ۶-A). حفره‌های موجود دارای تجمعی از سیمان اسپارایتی و یا رشد بلورهای دولومیت است. سیمان دولومیتی موجود در حفره‌ها، دارای مزهای مسطح نیمه شکل دار (Planar-s) است و با وجود خاموشی مستقیم، گوشه‌های لوزوجه‌ی و عدم وجود میانوار، گویای ایجاد شرایط دیاژن دفنی به مرور زمان در محیط سدی است. سیمان اسپارایتی موجود، که مجموع ائوییدها را در بر گرفته، شفاف و گاه به اشکال گرانشی دیده می‌شود. ماده معدنی در این رخساره، به صورت گالن فضایر کن همراه با پیریت خود شکل و به صورت دانه‌پراکنده (شکل ۶-B) دیده می‌شوند. بلورهای پیریت، گاه در هسته ائوییدها در حال جانشینی توسط گوتیت است. کانه‌های روی، در نمونه مطالعه شده از این رخساره، تنها به صورت اکسیدی (هیدروزنسنیت) مشاهده می‌شوند. به نظر می‌رسد که این رخساره پس از تشكیل در مععرض شرایط سوپریژن قرار گرفته و سولفیدهای آهن و روی به اکسید آهن، سروسیت و هیدروزنسنیت تبدیل شده‌اند. دسترسی به اعمق و مطالعه کانی شناسی تمام سولفیدهای اولیه، به دلیل نبود مغزه‌های حفاری مقدور نبوده است. رخساره اُواسپارایت دولومیتی، در پاره‌ای از موارد، به طور جانبی به رخساره دولواسپارایت تبدیل می‌شود. همان‌گونه که عنوان شد، عدم وجود ساختار منظم درونی در ائوییدهای رخساره، می‌تواند دلیلی بر دولومیتی شدن در چرخه تشكیل سنگ باشد. به نظر می‌رسد با افزایش دولومیتی شدن، ائوییدها به طور کامل از بین رفت و رخساره دولواسپارایت تشكیل شده است. این رخساره، نیز کانه‌دار بوده و اجزای تشكیل دهنده آن به طور عمده بلورهای ریز دولومیت است، به گونه‌ای که بیش از ۹۰٪ این رخساره از دولومیت تشكیل شده است. قطعاتی از کوارتز (چرت‌های تبلور یافته) و فسیل نیز در این رخساره مشاهده می‌شود. بلورهای دولومیت مزهای شکل دار و مسطح (planar-e) دارند و به صورت رشد درهم و یا شناور در خمیره اسپاری دیده می‌شوند (شکل ۷-A). این نوع دولومیت معادل فابریک ایدیوتاپیک c-معروفی شده است (آدایی، ۱۳۸۳). بیشتر لوزوجه‌های دارای سطحی مه‌آلود و حاوی میانوار است. به دلیل حضور میانوارهای از آهن، دولومیت‌های لوزوجه‌ی این رخساره حالت زونه دارند (آدایی، ۱۳۸۳). میزان مواد آلی در این رخساره کاهش یافته که نشانگر دوری از محیط سدی و لاگون است (Miall, 1990). گالن فراوان ترین ماده معدنی حضور یافته در این رخساره به شمار می‌رود که به شکل دانه‌پراکنده و غالباً فضایر کن مشاهده می‌شود (شکل ۷-D). گالن، از مرکز، توسط کانی کربناتی سروسیت جانشین می‌شود (شکل ۷-A).

در برخی فضاهای خالی، ماده معدنی به قدری فراوان می‌شود که قطعات

در نگاهی کلی، کانی شناسی معدن نیز ساده است و از مجموعه‌ای از کانی‌های سولفیدی مانند گالن، اسفالریت و وُرتیت و کانی‌های غیرسولفیدی روی و سرب (با حجم زیاد) مانند همی مورفیت، هیدروزینیست و سروسیت به همراه کانی اکسیدی مولیبدن (وُلفنیت) و مقادیری فلوریت و سلسیت تشکیل شده است.

۵-۱- بافت لامینه

یکی از بافت‌هایی که شرایط رسوبی اولیه را نشان می‌دهد، بافت لامینه است. نمونه‌هایی از این بافت، هم در مقیاس نمونه دستی و هم در مقاطع میکروسکوپی، در رخسارهای اثوبید گرینستون مشاهده شده است. حجم عمدۀ لامینه‌ها از کانی‌های پیریت و گالن، که در مواردی اکسید شده‌اند، تشکیل شده است. این کانی‌ها، در لامینه‌های کانه‌دار، در تناوب با کانی‌های تشکیل دهنده سنگ درونگیر (دولومیت) دیده می‌شوند (شکل ۱-۱۲ A, B-۱۲). مشابه این بافت، با همین ویژگی‌ها، از کانسار سرب و روی بلاپرگ توسط (Cerny در افق Erzkalk 1989) با محیط سدی گزارش شده است.

۵-۲- بافت دانه‌پراکنده

این بافت، از جمله بافت‌های مهمی است که شواهد زایشی بسیار ارزشمندی در اختیار می‌گذارد. اولین نتیجه حضور مواد معدنی در این شکل، نهشت اولیه ماده معدنی در حین رسوبگذاری و یا دیاژنر همراه با دیگر کانی‌های تشکیل دهنده سنگ است. این بافت، در هر دو رخساره کانه‌دار (رخساره‌های اثوبید- گرینستون و اثوسپاریت دولومیتی) مشاهده می‌شود و دانه‌های پراکنده پیریت و گالن در متن واحد دولومیتی شُتری به همراه کانی‌ها و دیگر اجزای سازنده این سنگ‌ها دیده می‌شود (شکل ۵ و ۶). در نمونه‌های مطالعه شده، ارتباطی بین بافت پراکنده و درزه‌ها و شکستگی‌ها دیده نمی‌شود. کانی فلوریت به شکل دانه پراکنده در رخساره دولواسپاریت با رنگ بنفش دیده می‌شود (شکل ۱-۱۲ C). سلسیت نیز به ندرت و به شکل منفرد در رخساره دولواسپاریت وجود دارد.

۵-۳- بافت پُرکنده فضای خالی

ساختارهای ناشی از پرشدگی فضاهای باز، در سنگ‌های آهکی، بسیار متنوع و شایع است. در اصل این ساخت، یک واژه غیرزاپیشی، برای توصیف دیاژنتیکی فضاهای خالی، در رسوبات به طور عمدۀ میکراتی، به شمار می‌رود (Flugel, 2004). فضاهای خالی ممکن است به مانند یک پنجره روشن در فضای تاریک سنگ باشند و یا ممکن است توسط هر ماده دیگری پر شوند. یکی از عمدۀ ترین سیماهای مواد معدنی در بخش کانه‌دار، حضور آنها در نقش پُرکنده فضاهای خالی است. در این بافت ماده معدنی (روی و سرب) برخی از فضاهای خالی ناشی از فرایندهای دیاژنتیکی را پر کرده است. از انجا که یکی از اصلی ترین فرایندهای دیاژنتیکی در افق معدنی دولومیتی شدن است، فرایند مذکور فضاهای خالی زیادی را در سنگ ایجاد کرده است، که این فضاهای مکان مناسبی برای تمرکز مواد معدنی هستند. بافت پُرکنده فضای خالی را در مقیاس‌های مختلف رخنمون و میکروسکوپی می‌توان مشاهده کرد (شکل ۱-۱۲ D).

ماده معدنی عده در این بافت کانی گالن و یا محصولات اکسیده این کانی مانند سروسیت است. کانی سولفیدی روی به دلیل اتحال پذیری بالا و تأثیر سوپرژن قوی مشاهده نشد، اما محصولات اکسیده آن به صورت همی مورفیت و هیدروزینیست مشاهده می‌شود. همراهی وُلفنیت در کنار گالن و سروسیت حاصل اکسایش گالن در این بافت، نظریه حضور مولیبدن در شبکه گالن را محتمل می‌سازد (Takahashi, 1960)، که مطالعات میکروسکوپ الکترونی بر روی گالن در احمدآباد این مسئله را تأیید می‌کند. اندکی فلوریت و سلسیت با بافت فضا پُرکن، وجود دارند که معمولاً همراه با سیمان دولومیتی فضاهای خالی را پُر کرده اند. فلوریت از کانی‌های رایج در

براساس نتایج تجزیه‌های شیمیایی، برقراری رابطه $\text{Sr} > \text{Co} > \text{Ni}$ در جدایش مرز بین کانسارهای رسوبی از کانسارهای گرمابی (قاسمی، ۱۳۸۵) در این رخساره صادق بوده است. مقدار نسبت استرونیم به رویدیدم در احمدآباد معادل $3/5$ و مقدار نیکل به کیالت معادل $1/9$ محاسبه شده است. افزایش مقدار استرونیم به باریم، با نزدیکی به بخش کانساری، از ویژگی‌های کانسارهای رسوبی همزاد به شمار رفته و به جانشینی یون استرونیم با کلیم در شبکه دولومیت ارتباط دارد (Schroll, & Rantitsch, 2005). وجود جانشینی باریت توسط سلسیت، از دلایل کاهش باریت در کانسارهای آلپی شمرده می‌شود (Schroll et al., 2006).

مقادیر نقره و مس در کانسار احمدآباد (جدول ۱)، همانند کانسار بلاپرگ، بسیار کم است که می‌تواند از دیگر شواهد زمین شیمیایی شbahat این کانسار با کانسارهای تیپ آلپی باشد. تجزیه نمونه‌های اسفالریت مقادیر بالایی از Ge/Ga نشان داد (جدول ۲) که از شاخص ppm ۱۰-۱۰۰ کانسارهای آلپی پیروی می‌کند. در ضمن شاخص As/Tl (برابر ۱ تا ۵) در کانسار بلاپرگ، با احمدآباد به طور کامل سازگار است (جدول ۲).

۵- ژئومتری و ساخت و بافت ماده معدنی

کانه‌زایی روی- سرب (مولیبدن) در احمدآباد، با ژئومتری عدسی، هم‌روند با لایه‌بندی و در مواردی رگه‌ای مشاهده می‌شود. بررسی‌ها نشان می‌دهد که عدسی‌های کانه‌دار، با ابعاد مختلف، در دولومیت‌های TR_{sh3} قرار دارند. بزرگ‌ترین این عدسی‌ها، با طول ۱۰ متر، سمترای ۴ متر و با شیب ۳۰ درجه به سمت SSW در بالای تونل ۲ قابل مشاهده است (شکل A-۱۰). سایر عدسی‌های کانه‌دار کوچک‌ترند و با طول ۱-۲ متر و سمترای تا ۵۰ سانتی‌متر قابل تعقیب هستند. از ویژگی‌های این عدسی‌ها می‌توان به تکرار شدن و تناوب آنها با سنگ درونگیر اشاره کرد (شکل B-۱۰). عدسی‌های کانه‌دار توسط شکستگی‌ها و گسل‌های محلی با روند N20W قطع شده‌اند. برداشت‌های درون تونل نشان می‌دهد که ژرفای عدسی‌ها تا حدود ۱۵-۲۰ متر برآورد می‌شود. در بخش‌های هم‌روند با لایه‌بندی، ماده معدنی نمود طولی گستره‌تری دارد و بیش از ۱۰۰ متر در جوانب قابل تعقیب است (شکل ۱۱). سمترای ماده معدنی در این بخش از ۱۰ سانتی‌متر در سطح شروع می‌شود و با توجه به تونل‌های دنبال لایه تا ۲ متر، قابل تعقیب است. تعداد دو حلقه تونل در قسمت باختری و یک حلقه تونل در سمت خاوری، در این بخش از ماده معدنی حفر شده است (شکل های ۱۰ و ۱۱).

بخش‌های رگه‌ای در کانسار احمدآباد محدود بوده و تنها در برخی از تونل‌های معده قابل مشاهده است. امتداد این رگه‌ها از روند شکستگی‌هایی (N20W)، که قطع کننده عدسی‌ها هستند، تبعیت می‌کند. مشاهدات حاکمی از آن است که بخش‌های رگه‌ای، هر چند تمثیل کرده نخوبی برای ماده معدنی هستند، اما گسترش محدود آنها به زون کانه‌دار، بیانگر تغذیه اپی‌ژنتیک رگه‌ها از عدسی‌های کانه‌دار و رخساره کانه‌دار است. وجود گسل‌ها و شکستگی‌های بدون کانه‌زایی، نشان از عدم ارتباط کانه‌زایی با شکستگی‌ها و گسل‌های موجود در معده و نقش سیال‌های گرمابی احتمالی است. به نظر می‌رسد در صورت تأثیر سیال‌های گرمابی و نقش آنها در کانه‌زایی، گسل‌های منطقه مناسب ترین مکان برای کانه‌زایی است. در این میان گسل راندگی احمدآباد، با میزان تأثیر فراوان در مجموعه ایجاد زون گسلی با عرض دست کم ۳۰ متر، شاید بهترین مکان بوده باشد. اما بررسی‌ها و برداشت نمونه و تجزیه‌های شیمیایی متعدد از نمونه‌های برداشت شده در این گسل و واحدهای برشی پیرامون آن، هیچ غنی شدگی از ماده معدنی را نشان نداده است.

ساخت و بافت ماده معدنی، در کانسار احمدآباد، را می‌توان در قالب بافت‌های اولیه لامینه، دانه پراکنده، پُرکنده فضای خالی، استیلویلت، رگه- رگجه و توده‌ای و بافت‌های ثانویه جانشینی و کلوییدی بررسی نمود.

۵۰°C تا ۲۰۰°C) همانند بیشتر کانسارهای تیپ آلپی، ایرلندي و MVT باشد (Leach & Sangster, 1993; Hitzman & Beaty, 1996; Leach et al., 2005).

۶-۶- بافت برشی

در منطقه احمدآباد برش‌هایی از نوع درون‌حوضه‌ای قابل مشاهده است. باور بر این است (Leach et al., 2003) که برش‌های درون‌حوضه‌ای از قطعات خود سنگ در حال تشکیل، در حوضه و یا با جابه‌جایی نزدیک در حوضه نهشت، ایجاد شده باشد. پدیده برشی شدن، در تونل‌های معدنی و در بخش‌هایی از ماده معدنی، در رخساره اثویید-گرینستون قابل مشاهده است. به نظر می‌رسد برشی شدن در تمرکز ماده معدنی و افزایش عیار روی بسیار موثر بوده است، به گونه‌ای که نمونه‌ای از این برش‌ها، مقدار روی را حدود ۲۰٪ نشان داده است. این نوع بافت برشی با ویژگی‌های جانشینی اندک و یا انتخابی کانه‌های روزی در خمیره ریز بین دانه‌ها را می‌توان برش ریزشی (Collapse Breccia) نامید، که نمونه‌های آن به خوبی در کانسارهای منطقه Silesia در آلپ شناخته شده است (Leach et al., 2003).

۷-۵- بافت توده‌ای

باft توده‌ای، به طور عمده از مهم‌ترین و قابل توجه‌ترین بافت‌ها، از نگاه معدن کاران و بهره‌برداران است. در کانسار احمدآباد، با بررسی تونل‌ها و کارگاه‌های استخراجی، متوجه می‌شویم که بخش عمده ماده معدنی استخراجی به صورت توده‌ای و یا عدسی‌های پراکنده بوده است. ماده معدنی با این بافت به طور عمده ماهیت متراکم و با عیار بالای روزی و سرب بوده است. نکته مهم کانی شناسی باft این است که در حال حاضر، به طور عمده شامل سروسیت، همی‌مورفیت، و لُفنتی با مقادیر فراوانی از اکسید آهن است؛ اما در بررسی‌های دقیق از اعمق تونل‌ها، بخش‌های سولفیدی در نمونه‌هایی از این باft به صورت گالن و پیریت مشاهده شد که می‌تواند بیانگر ماهیت سولفیدی اولیه در این نوع از تمرکز ماده معدنی باشد (شکل ۱۵-A).

باft توده‌ای در ارتباط با عدسی‌های کانه‌دار نیز قابل بررسی است، به گونه‌ای که به عدسی‌های کانه‌دار نیز گاه وازه توده‌ای (Masivo) گفته می‌شود. باft توده‌ای گاه با حالت برشی نیز قابل مشاهده است. در چنین شرایطی سنگ دچار خردش‌گی شده و قطعاتی از خود سنگ به همراه ماده معدنی به طور یکجا سیمانی شده‌اند. خمیره سنگ در چنین مواردی از اکسید آهن و کانه‌های روزی ساخته شده است که بلورهای و لُفنتی و فلوریت در آن پراکنده می‌باشند.

۸-۵- باft جانشینی

این باft، یکی از بافت‌های ثانویه در منطقه مورد مطالعه است، به گونه‌ای که کانی‌های اولیه که اغلب سولفیدی بوده‌اند، مانند پیریت، گالن و اسفالریت به کانی‌های اکسیدی مانند گوتیت، سروسیت و هیدروزینیت تبدیل شده‌اند. جانشینی گالن توسط سروسیت برخلاف جانشینی پیریت، غالباً از مرکز صورت پذیرفته و نشانه تبدیل در جای کانی نیز می‌باشد، چنین تبدیلی در رخساره دولوسپاریت افق کانه‌دار قابل مشاهده و بررسی است، در حالی که تبدیل پیریت به کانی اکسیدی گوتیت و یا لپیدوکروسیت پدیده‌ای شایع در هر دو رخساره کانه‌دار می‌باشد (شکل ۱۵-B). همچنین تیغه‌های هماتیتی توسط گوتیت جانشین شده و ایجاد ریخت‌نمای (سودومورف) گوتیت را کرده‌اند.

جانشینی اسفالریت توسط کانی‌های اکسیدی (هیدروزینیت یا همی‌مورفیت) نه به تنها، بلکه در باft رگه-رگچه نیز مشاهده می‌شود. توضیحات بیشتر در مورد جانشینی اسفالریت، در باft رگه-رگچه‌ای عنوان شده است.

و لُفنتی و فلوریت از دیگر کانی‌های رایج با باft فضای پُرکن و جانشینی هستند.

کانسارهای MVT به شمار می‌رود (Sarkar and Banerjee, 2004). در این میان، کانسارهای تیپ آلپی، فلوریت و باریت کمتری، نسبت به دیگر کانسارهای سرب و روی با میزان کربناتی، دارند. این نکته در کانسار بلایر گ نیز گزارش شده است (Cerny, 1989).

۴-۵- باft استیلویلت

استیلویلت یکی از اشکال جالب دیاژنر است که در اثر انحلال فشاری در شرایط دفعی ایجاد می‌شود. به اعتقاد بسیاری از رسوب‌شناسان (از جمله، Flugel, 2004; Bäuerle, 2000) مشاهده می‌شود، در اثر تراکم شیمیابی مراحل پایانی دیاژنر در سنگ‌های کربناتی به وجود می‌آید. در اثر این فرایند، مقدار بسیار زیادی از حجم سنگ و تخلخل آن کاوش می‌یابد و همین عمل باعث تجمع مواد انحلال‌پذیر در محل استیلویلت می‌شود. از تجمعات رایج در ساختار استیلویلت می‌توان به کانی‌های رسی، سولفیدها و اکسید‌آهن اشاره کرد. در منطقه احمدآباد گسترش استیلویلت و ساختارهای انحلالی، حتی در مقیاس رخمنون (در زیر افق معدنی) نیز قابل مشاهده می‌باشد و در مقیاس میکروسکوپی نیز سبب تمرکز اکسید‌آهن و کانی‌های اکسیدی روی مانند همی‌مورفیت شده است (شکل ۱۳-A). همچنین در پاره‌ای از موارد، در رخساره اثویید-گرینستون اشکال انحلال فشاری به صورت رگه‌های بخیه مانند در اثوییدها مشاهده می‌شود. این ساختار سبب شده تا اکسید آهن، که در اثوییدها وجود داشته، بر اثر ایجاد این ساختار سبب تمرکز آهن در سطح استیلویلت شود (شکل ۱۳-B).

۵-۵- باft رگه-رگچه

باft رگه-رگچه، در سنگ‌های کربناتی، عنوانی کلی برای شکستگی‌هایی است که ابعاد آنها از میلی متر تا چندین متر متغیر است و توسط کلیسته‌های درشت بلور و یا کانی‌های اپی‌ژنتیک (ماده معدنی) پُر شده‌اند. تشکیل شکستگی در سنگ‌های کربناتی، ممکن است در یکی از مراحل زیر رخدده:

- در حین رسوبگذاری (جابه‌جایی رسوبات، فرار آب از بین رسوبات).
- در حین دیاژنر (تراکم رسوبات).
- در اثر نیروهای زمین‌ساختی (نیروهای بُرشی، حرکت‌های کششی، شکستگی‌های هیدرولیکی).

در منطقه احمدآباد، علاوه بر وجود رگه و رگچه‌های کلستی فراوان که در تمامی واحدهای دربرگیرنده معدن قابل مشاهده‌اند، رگه-رگچه‌هایی از ماده معدنی نیز در بخش کانه‌دار مشاهده می‌شوند. عمدۀ این رگچه‌ها، که نسبت به لایه‌بندی و لامیناسیون، حالت عمودی تا نیمه عمودی دارند، توسط کانه‌های روزی مانند هیدروزینیت و همی‌مورفیت با حاشیه‌ای از اکسید آهن پُر شده‌اند. اما قطعات اسفالریت عسلی رنگ در آنها مشاهده می‌شود، ضمن آنکه اشکال سوزنی و تیغه‌ای (شکل Gilg et al., 2006) کانی‌های همی‌مورفیت و لیمونیت که مختص اسفالریت است، نشان‌دهنده جانشینی و یا هوازدگی اسفالریت به کانی‌های اکسیده روزی است (شکل ۱۴-A). محدود بودن رگچه‌ها به رخساره کانه‌دار از دیگر دلایل اولیه بودن این باft است (شکل ۱۴-B). به عبارت دیگر، باft رگه-رگچه در حین رسوبگذاری یا دیاژنر تشکیل شده است. متن سنگ میزان این رگچه‌ها، از لامینه‌های طرفی از بخش‌های تیره و روشن میکرایتی تشکیل شده است. به اعتقاد (Flugel, 2004) وجود چنین رگچه‌هایی عمودی در یک متن میکرایتی متناوب، حاصل پدیده آبزدایی در دیاژنر ابتداًی است و این پدیده در واحدهای تریاس پایانی Kossen در آلمان شناسایی شده است.

ظهور کانی سولفیدی و روتیت در برخی تجزیه‌های XRD که چند ریخت دما پایین اسفالریت به شمار می‌رود، می‌تواند دلیلی بر تشکیل کانه در دماهای پایین

کانسارهای تیپ آلپی گفته می‌شد و این کانسارها در قطب همزاد (سین‌ژنتیک) در برابر کانسارهای ابی‌ژنتیک MVT قرار می‌گرفتند. مطالعات جدید نشان می‌دهد که همه کانسارهای منطقه آلپ وارد شرایط همزاد نیستند و پاره‌ای از این کانسارها مانند Gorno (ایتالیا) و Arziedel (جنوب اتریش) در این دسته جای ندارند (Schroll, 2005). بدین ترتیب (2005) Schroll، کانسارهای منطقه آلپ را به دو گروه تقسیم کرد: ۱) کانسارهای آلپی شاخص (APT) یا تیپ بلاپیرگ که در دیاژنر اولیه در یک محیط کششی با منشأ گوگرد باکتریایی تشکیل شده‌اند و ۲) کانسارهای آلپی که در شرایط کوهزبانی تشکیل شده‌اند و منشأ گوگرد در آنها، گوگرد گرمابی ابی‌ژنتیک و تجزیه گرمابی سولفات بوده است (کانسارهای Gorno و Arziedel). کانسار بلاپیرگ در آلپ خاوری و در سکوی کافتی منطقه معدنی Carinthia (اتریش) واقع شده است. این کانسار، به عنوان یک رده جهانی از کانسارهای تیپ آلپی، همواره مورد توجه بوده و عملیات معدنی در آن از سده ۱۴ آغاز و در سال ۱۹۹۴ معدن تعطیل شده است. توالی چینه‌شناسی در بلاپیرگ حدود ۳۵۰ متر سمترا داشته و از دولومیت، آهک و شیل‌های به سن Carnian (تربیاس میانی-معادل سازند شتری) تشکیل شده است و هیچ توده نفوذی از منطقه گزارش نشده است. کانه‌زایی اقتصادی در کانسار بلاپیرگ به طور عمده در واحدهای دولومیتی Watterstein، که تحت عنوان دولومیت اصلی شناخته می‌شود، صورت گرفته است. بخش کوچکی از افق‌های کانه‌دار نیز در لايهای دولومیتی Raibl (1989) Cerny (1989) با مطالعه توالی ۳۵۰ متری کانسار بلاپیرگ، چهار افق اصلی کانه‌دار را در این کانسار معروفی کرده است که عبارتند از Cardita Crest, Erzkalk, Maxer Banke و افق کانه‌دار اول در بخش دولومیت کانه‌زایی در بلاپیرگ در ارتباط با رخسارهای خاصی است. محیط رسوبی در این کانسار به صورت یک محیط سدی است که به سمت باخته به یک رخساره کوچک رسوبی، در رسوبی تبدیل می‌شود (رخساره یا افق Crest). کانه‌زایی در رخساره کوچک رسوبی، در محیط سدی پیرامون آن (افق Erzkalk) و بخشی نیز در محیط لاغون پشت سد (افق Maxer) صورت گرفته است. بخش عمده کانه‌زایی با ذخیره‌ای بالغ بر ۳۵ میلیون تن در رخساره سدی Erzkalk قرار دارد. کانه‌زایی در دو افق مهم محیط سدی و رسوبی با رخسارهای Lithoclastic-Wackstone و Grainstone در ارتباط است. در احمدآباد کانه‌زایی به شکل چینه‌سان و چینه‌کران و در یک جایگاه ویژه در واحدهای دولومیتی قهوه‌ای رنگ و توده‌ای متعلق به سازند شتری (تربیاس میانی) جای دارد. بر اساس مطالعات تحلیل رخساره‌ای و مدل‌سازی محیط رسوبی، مشخص شد که کانه‌زایی وابسته و در ارتباط با رخساره‌های ویژه محیط سدی مانند اثوبید گرینستون، اتوسپارایت دولومیتی و دولوپسپاریت است. بنابراین، محیط رسوبی کانسار احمدآباد بویژه با رخسارهای محیط سدی کانسار آلپی بلاپیرگ مشابه است.

کانی‌شناسی در بلاپیرگ شامل اسفالریت، گالان، پیریت، مارکازیت و مقادیر اندکی فلوریت، ژلفنیت، باریت و سلسیت و مشابه کانسار احمدآباد است. وجود بافت فرامبوبید، ریتمیک و دانه‌پراکنده حاکی از تشکیل کانه در مرحله دیاژنر آغازین است و بافت فرامبوبیدی پیریت و بافت دانه‌پراکنده از اسفالریت، در هر دو رخساره کانه‌دار احمدآباد یکسان است. عیار مولیبدن در این کانسار ۱/۱۵ درصد (در احمدآباد میانگین ۰/۷٪ است) بوده که ۲۰۰۰ تن از آن استخراج شده است (Schroll, 1996). مقایسه نشان می‌دهد که در این کانسار نیز نسبت روی بسیار پیشتر از سرب بوده است، اما مسئله مهم تفاوت کانی‌شناسی دو کانسار در بخش اکسیدی است که در بلاپیرگ بخش اکسیدی گسترش چندانی نیافته، ولی در احمدآباد به دلیل ساختارهای زمین‌ساختی بعدی (فراخاست) و تأثیر فرایند سوپرژن، بخش اکسیدی گسترش بیشتری دارد. روابط زمین‌شیمیایی ویژه، در کانسارهای آلپی، به خوبی برای تعیین ویژگی‌های

ولفنت در این بافت به صورت رشد بلورهای تراگونال درشت به همراه لیمونیت دیده می‌شود (شکل A-۱۶) و فلوریت به شکل ثانویه در هر دو رنگ سفید و بنفش در کنار لفنت نیز دیده می‌شود (شکل B-۱۶).

۵-۹-۱-بافت کلوییدی

بر اثر انحلال کربنات‌ها و یا فرایند کارستی شدن در سنگ‌های کربناتی کانه‌دار، حفره‌هایی با ابعاد متغیر ایجاد می‌شود و در دیواره این حفره‌ها بافت‌های کلوییدی از ترکیب‌های آهن و روی با عیار بسیار بالا به صورت ثانویه تشکیل شده است. در بخش‌های غیرسولفیدی کانسار احمدآباد ابعاد ظهور چنین بافتی قابل ملاحظه است و به طور آشکار در امتداد تونل شماره ۷ معدن، ماده معدنی به صورت هیدروروزینیست، با بافت کلوییدی، مورد توجه معدنکاران قرار گرفته و استخراج شده است. وجود بافت کلوییدی در حفره‌ها به شکل کانی سفیدرنگ و گل کلمی کلیست نیز در بخش‌های مختلف معدن شایع است و در پاره‌ای از موارد، همراه کلیست‌های گل کلمی، کانی‌های لفنت و فلوریت نیز با لیمونیت مشاهده می‌شود، که از شواهد ثانویه بودن این کانی‌ها به شمار می‌آید.

۶- توالی پاراژنری کانی‌ها

بر اساس مطالعات انجام‌شده در مقیاس صحرایی، نمونه دستی و میکروسکوپی، توالی پاراژنری کانی‌ها و کانه‌های کانسار روی-سرب (مولیبدن) احمدآباد در ارتباط با ساخت و بافت کانه‌ها و سنگ درونگری رسم شد (جدول ۳). شواهد نشان می‌دهد که پس از تشکیل لجن کربناتی و کمپلکس‌های فلزی در مرحله رسوبگذاری، کانه‌زایی در دوره لجن رسوبی-دیاژنری (اویله و پایانی) صورت گرفته است. در دیاژنر، هم‌مان با تشکیل کانی‌های سازنده سنگ (دولومیت، کلیست و کوارتز)، کانی‌های پیریت، فلوریت، اسفالریت و گالان شروع به تشکیل و تبلور کرده‌اند. بافت‌های لامینه، دانه‌پراکنده، رگه-رگجه‌ای و توده‌ای اویله به این زمان تعلق دارند. شواهدی همچون بافت‌های فضایپرکن و استیلویلت نشان می‌دهند که کانه‌زایی تا دیاژنر پسین ادامه داشته و سپس کل کانسار در معرض فرایندهای زمین‌ساختی و فرسایش و هوادگی گسترده قرار گرفته و کانی‌های غیرسولفیدی تشکیل شده‌اند. سازوکار ایجاد چنین فرایند سوپرژن وسیعی رامی توان به این شکل بیان کرد: بالآمدگی سریع پوسته در زمان پس از تربیاس سبب ایجاد ساختارهای فرازمین-فرزومین در طول گسل کوهبنان شده است (کمالی، ۱۳۸۳). چنین ساختاری، در طول محور کوهبنان-بهاباد، در همه کانسارها و رخدادهای معدنی روی و سرب این کمرندهای قابل مشاهده است. ایجاد چنین ساختاری، همراه با وجود گسل‌های پر شبیب با روند N2SE، موجب شده است که کانسارهای سولفیدی تشکیل شده در این محور، در بخش‌های بالآمد، در معرض فرایندهای سوپرژن قرار گیرند. مطالعه کانسارهای غیرسولفیدی بزرگ در مکزیک، آفریقا و ایران نشان می‌دهد که در این کانسارها کانی‌های اکسیدی روی در اثر اکسایش سریع اسفالریت و آمیختگی با آبهای جوی (از کمربالایی کانسار در اثر وجود گسل‌ها پایین می‌آیند) که نسبت CO_2/HCO_3 آنها بالاست، تشکیل می‌شوند (Hitzman et al., 2003) (و در نتیجه کانی‌های غیرسولفیدی سوپرژن، به صورت یک پوشش، بلافصله روی بخش سولفیدی قرار می‌گیرد که نشان‌دهنده تشکیل در جای (in situ) آن است (Borg, 2005 and Daliran et al., 2005)). با فرکنندگی سنگ‌های کربناتی، سبب خشی شدن اسیدهای ناشی از اکسایش سولفیدها شده و روی را که بسیار انحلال پذیر و متحرک است، به شکل همی‌مورفت و یا هیدروروزینیست رسوب داده است.

۷- مقایسه با کانسار تیپ آلپی بلاپیرگ در اتریش

در گذشته به کانسارهای موجود در منطقه آلپ به دلیل موقعیت مکانی، عنوان

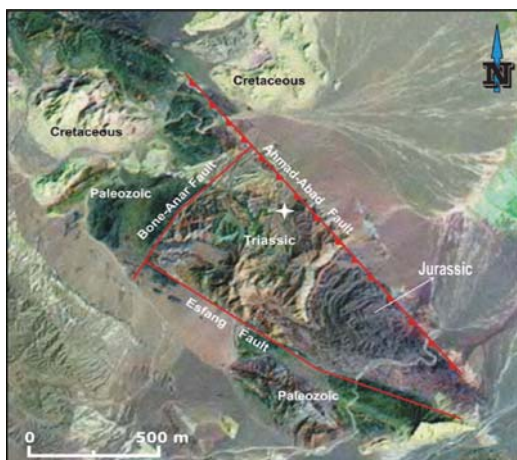
دولومیت‌های سازند شتری است. مادهٔ معدنی به شکل عدسی، هم‌رونده با لایه‌بندی و گاه رگه‌ای در واحد sh_3 TR و در ارتباط با رخسارهای ائویید گرینستون و رخساره ائوپسارت دolumیتی (دولوپسارت) قرار دارد.

ظهور کانه‌زایی در اشکال دانه‌پراکنده و لامینه، در رخسارهای ائویید گرینستون و دولوپسارت، از شواهد زایشی بسیار مهم تشکیل کانه‌ها در شرایط هم‌زد (سین‌ژنتیک) است. ضمن آنکه تشکیل پیربیت، اکسید آهن و کانه‌های روی در ساخت استیلویلت، از شواهد دال بر تمرکز مادهٔ معدنی در فرایند دیاژن است. حتی بافت‌های رگه‌ای کانسار نیز با توجه به شواهد رسوب‌شناسی ارائه شده، به احتمال زیاد، در مراحل دیاژنزی تشکیل شده‌اند.

برداشت‌های دقیق روی زمین نشان می‌دهد که عدسی‌های کانه‌دار و بخش‌های هم‌رونده با لایه‌بندی بیشترین مکان برای فعالیت‌های معدن کاری بوده است و شکستگی‌ها و گسل‌ها، تنها در بخش‌هایی که عدسی‌های کانه‌دار را قطع کرده‌اند، کانه‌دار هستند و در خارج از عدسی‌ها یا افق کانه‌دار، با وجود تداوم شکستگی‌ها و گسل‌ها، از کانه‌زایی خبری نیست. همین حقیقت به ظاهر ساده، نظریه سیال‌های گرمابی و ثانویه را رد کرده و نقش محیط رسوی، رخساره سنگ درونگیر و ارتباط کانه‌زایی با هر دو راه طور کامل باز می‌سازد. مقایسه سنگ درونگیر، کانی‌شناسی ساده، نبود نقره و مس (و یا وجود بسیار کم آن‌ها)، نبود توده‌های آذرین، وجود روابط زمین‌شیمیایی عناصر مانند نسبت $Sr>Rb$, Ge/Ga , $Tl/Ni>Co/As$ و Ge/Ga , همگی حاکی از آن است که کانسار احمدآباد از نظر ویژگی‌های زمین‌شناسی و کانه‌زایی، بیشترین شاهت را با کانسارهای تیپ آلبی از جمله بلایرگ دارد (جدول ۴). وجود شواهد مشابه در دو کانسار احمدآباد (ایران) و بلایرگ (آتریش)، از جمله حضور ولفنیت به همراه روی و سرب در کانسنگ‌های تریاس و شواهد ساخت و بافت، سبب شد تا کانسار احمدآباد با این رده جهانی از کانسارهای روی و سرب (کانسارهای تیپ آلبی) مقایسه شود، تا بتوان از آن به عنوان الگویی در اکتشاف رخدادهای معدنی مشابه، بویژه برای مولیبدن، در محور کوه‌بنان- بهاباد استفاده شود.

سپاسگزاری

از حوزه معاونت محترم پژوهشی دانشگاه تربیت مدرس که ما را در انجام این تحقیق یاری رساندند و همچنین از مسئولان و کارشناسان محترم سازمان زمین‌شناسی و اکتشافات معدنی کشور که امکانات تجزیه‌های آزمایشگاهی و اسکان را فراهم کردند، تشکر و قدردانی می‌شود.



شکل ۲- تصویر ماهواره‌ای از منطقه و موقعیت محدوده مورد مطالعه در بلوک گسلی احمدآباد- بُنهان- اسفن

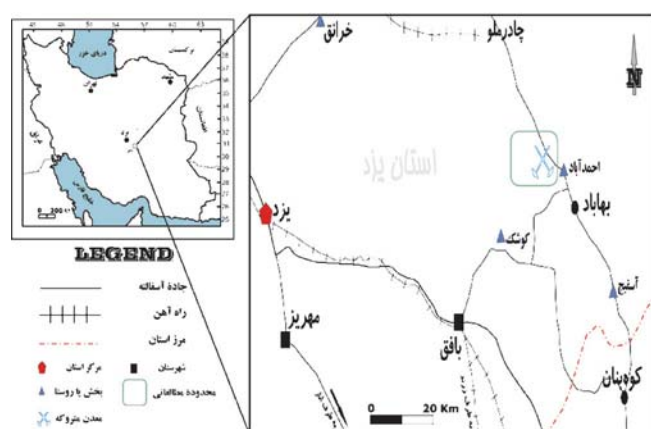
این کانسارها و تمایز از دیگر کانسارهای سرب و روی MVT (گروه ۲ تقسیم‌بندی Schroll (2005) به کار گرفته می‌شود. پاراژنر عنصری در این کانسارها شامل عناصر اصلی Zn, Pb, F, Ba و عناصر فرعی در آنها Tl, Mo, Ge و Sr هستند. نقره و مس در این کانسارها حضور ندارد و یا دارای مقدار بسیار اندکی است. در احمدآباد نیز پاراژنر عنصری مشابه بوده و نقره و مس بسیار اندک است (جدول ۱).

Schroll (2005) با استفاده از نسبت‌های As/Tl و Ge/Ga در اسفالریت، کانسارهای دیاژن ابتدایی آلبی را از کانسارهای MVT و کانسارهایی مانند Gorno Gorki کرده است. نسبت Ge/Ga در کانسارهای آلبی بیش از یک و معمولاً در دامنه‌ای بین ۱۰-۱۵ قرار می‌گیرد و As/Tl در این کانسارها دارای گستره ۱-۵ است. این در حالی است که کانسار Gorno همانند کانسارهای MVT دارای نسبت $As<Ge$ است که As/Tl می‌باشد. مقایسه مقادیر عنوان شده با احمدآباد نشان می‌دهد (جدول ۲) که کانسار احمدآباد در رده کانسارهای شاخص آلبی قرار می‌گیرد و همانند این کانسارها در شرایط دیاژن اولیه محیط کششی (کافت ایران مرکزی) تشکیل شده است. در مورد منشاء فلزها در بلایرگ باور بر این است (Cerny, 1989)، فلزها در فازهای متعددی تأمین شده‌اند و محیط سدی در تمرکز فلزها مؤثر بوده است. مولیدن در این کانسار، از سنگ‌های کربناتی بتومینه مشتق و به وسیله فرایندهای رسوی- دیاژنیک اباشته شده است. البته مولیدن به شکل کانی اولیه مولیدنیت و جریدیت (چندریخت مولیدنیت) نهشته شده و در زون اکسیدی کانسار که ستبرای کمی دارد، به ولفنیت تبدیل شده است. در احمدآباد، بدلیل ستبرای زیاد زون اکسیدی، کانی اولیه مولیدن مشاهده نشده است، اما به دلیل وجود افق‌های تبخیری و مواد آلی، به طور کامل با بلایرگ شبیه است و منشأی مشابه را متصور می‌سازد. حضور مولیدن همراه با سرب و گالن در احمدآباد نشان می‌دهد که سرنوشت مولیدن همانند بلایرگ با سرب یکسان است. به باور Takahashi (1960) حضور ولفنیت در زون اکسیدی کانسارهای سرب و روی نشان می‌دهد که کانی سولفیدی مولیدن (مولیدنیت) همراه با گالن، باید در عمق حضور داشته باشد، در غیر این صورت تنها رسویت تشکیل می‌شود و مولیدن به دلیل تحرک بالا از محیط خارج می‌گردد. بنابراین، وجود مولیدنیت در اعمق بعید نبوده و نیازمند حفاری است.

۸- فتیجه‌گیری

با توجه به مطالب ارائه شده، ویژگی‌های کانه‌زایی روی، سرب و مولیدن در کانسار احمدآباد به شرح زیر است:

کانه‌زایی شکل چینه‌سان و چینه‌کران داشته و محدود به جایگاه چینه‌شناسی خاص در



شکل ۱- موقعیت جغرافیایی و راه‌های دسترسی به کانسار روی، سرب (مولیدن) احمدآباد در شمال‌خاوری بافق.

جدول ۱- فراوانی عناصر اندازه گیری شده در نمونه های مقطع سنگ زمین شیمیایی A-A' به روش XRF برای نوع سنگ شناسی و موقعیت نمونه ها به شکل ۴-الف مراجعه شود.

Sample	SiO ₂	MgO	Fe ₂ O ₃	Zn	Pb	Mo	F	Ag	Sr	Rb	Ni	Co	Cu
	%	%	%	(ppm)									
1	3.12	2.25	0.76	426	107	7	700	*	120	58	45	24	16
2	2.9	2.09	0.75	342	98	5	958	*	126	58	60	23	46
3	2.88	1.95	2.12	1780	100	2	881	*	131	70	64	25	22
4	12.4	9	0.62	5200	420	2	109	*	125	65	46	25	13
5	16.8	12.2	0.13	1770	572	29	1737	*	127	54	39	24	17
6	16.5	11	0.45	1250	590	27	567	*	450	58	52	23	19
7	13.37	7.3	0.88	4100	502	27	671	*	320	65	51	26	16
8	18.4	15.75	25.11	20709	742	45	3693	2	966	36	45	27	17
9	15.5	6.7	2.1	2802	316	14	960	*	190	59	50	20	106
10	5.65	7.2	0.65	1676	220	7	821	*	254	61	38	21	55
11	3.81	2.9	0.2	1781	130	5	650	*	358	61	44	20	23
12	6.19	7.1	0.13	500	320	14	621	*	698	63	45	27	17
13	2.14	2.3	0.5	156	100	6	450	*	250	60	43	21	14

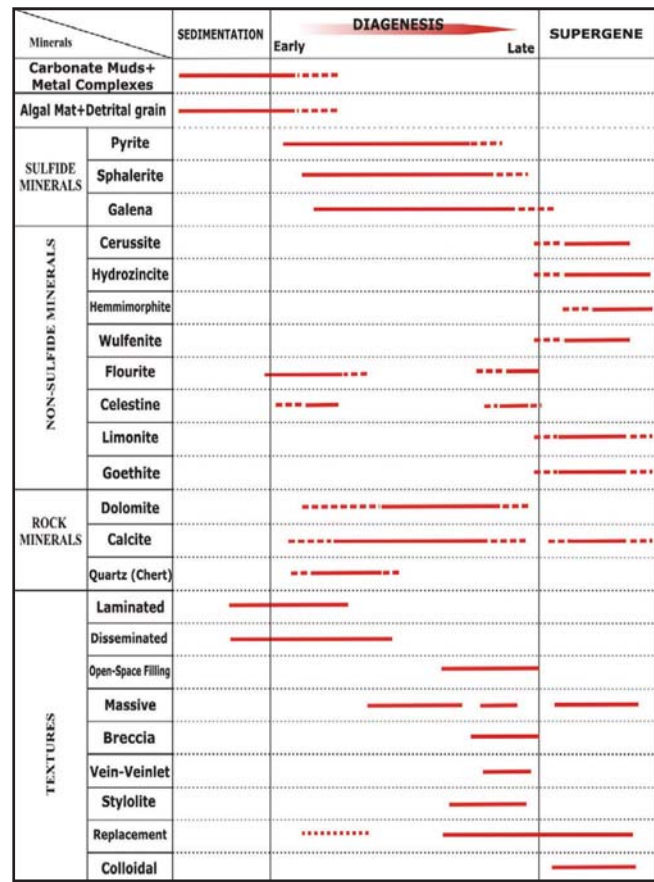
جدول ۲- فراوانی عناصر در دو نمونه از کانه اسفالریت (به روش ICP) در احمدآباد (مقادیر بر حسب ppm)

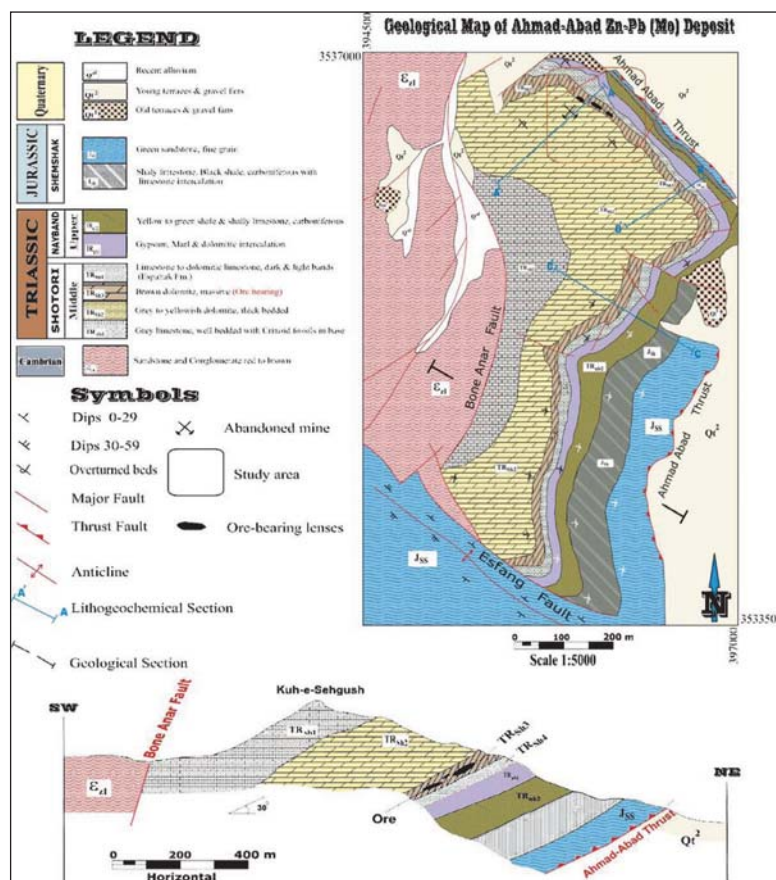
	Mn	Fe	Pb	Mo	Ag	Cd	Ge	Ni	Co	Tl	Cu	Sr	As	Ga	Ge/Ga	As/Tl
Sph 1	71	930	405	248	24	63	740	220	14	12.8	21	304	40	68	10.88	3.125
Sph 2	131	760	10400	342	3.5	150	410	160	9	55	20	169	63	36	11.38	1.14

جدول ۴- مقایسه ویژگی های کانسار تیپ آلبی بلایر گ (در ناحیه آلب اتریش) و کانسار احمدآباد (در ایران مرکزی در کمرنگ روی و سرب کوهبنان - بهاباد).

Ahmad-Abad (Iran)	Alpine type (Bleiberg, Austria)	
دولومیت و آهک دولومیتی	دولومیت، آهک و شیل	سنگ میزان
عدسی هم روند با لاپینتدی و رگهای غیر هم روند	صفحات هم روند و عدسی شکل و رگهای غیر هم روند	ژئومتری ماده معدنی
سکویی کافنی (ایران مرکزی)	سکویی کافنی	موقعیت زمین ساختی
فاز کافنی در رژیم کششی	همزمان و حتی بعد از فاز کافنی در رژیم کششی	کانه زایی
وجود ندارد	توده های نفوذی وجود ندارد. سنگ های آشناشانی وجود دارد	سنگ های آذرین
تریاس میانی	تریاس میانی تا بالای	سن سنگ میزان
Major: Zn, Pb, Minor: Mo, F, Sr, Ge, Tl	Major: Zn, Pb, Minor: Ba, F, locally Mo, Ge, Tl	عناصر معدنی
اسفالریت، گالن، بیریت + فلوریت، سلسیت، اندریت و همی مورفت، هیدروزینیست، ولفنت، سروسیت	اسفالریت، گالن، بیریت + سولفوسالت + فلوریت + ولفنت + باریت + اندریت	کانه شناسی
محیط سدی و کشندی	محیط کشندی و لاغون پشت ریف	محیط تهشیت
دولومیتی شدن، مواد آلی	دولومیتی شدن، مواد آلی	عوامل کترکت کننده
فرایند اصلی تأمین گوگرد فرایند کاهیدگی واحد های تخریب و فرایند کاهیدگی سولفات های بوده است.	فرایند اصلی تأمین گوگرد فرایند کاهیدگی و توسط مواد باکریایی و هیدرو کربنی بوده است.	منشا گوگرد
؟	مولیدن از سنگ های بیتومینه مشتق شده است	منشا مولیدن
کانه زایی در مرحله همزاد تا ابی ژئوتک انجام پذیرفته است. در مورد منشأ فلات ناز ب مطالعات بیشتر و ایزو توپی دارد.	دو مدل زایشی برای این کانسار ارائه شده است: ۱) فازهای متعددی فلزها را فراهم کرده و تبلور و تشکیل در طی دیائزنس آغازین و پایانی صورت گرفته است. ۲) تزلزلات تخصرا پس از رسوبگذاری فراهم شده و تبلور و تشکیل در دیائزنس پایانی صورت گرفته است.	ژئونگنگی تشکیل (چگونگی)
پژوهش حاضر	Sarkar, S.C., & Banerjee, S., 2004- Schroll, et al., 2005	منابع

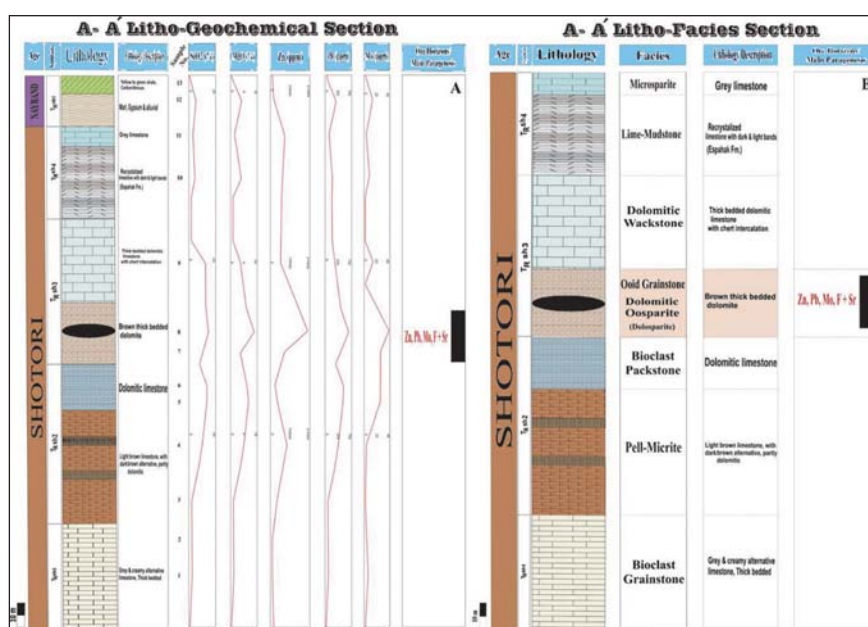
جدول ۳- مراحل تشکیل و توالی پاراژئوتک کانه ها، کانه ها و بافت های رسوبی - دیازنیک و سوپرزن ماده معدنی در افق کانه دار منطقه معدنی احمدآباد.



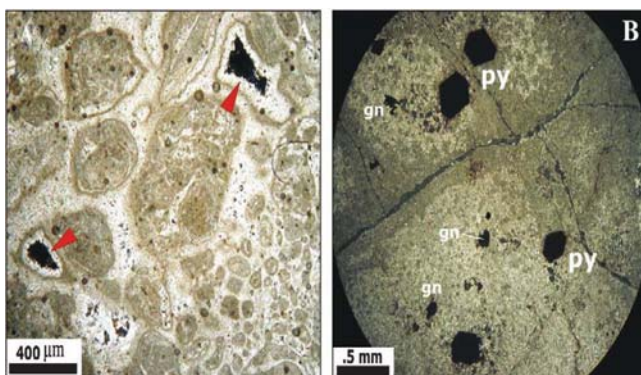


شكل ۳- نقشه زمین‌شناسی ۱:۵۰۰۰ و مقطع زمین‌شناسی عمومی از محدوده کانسار

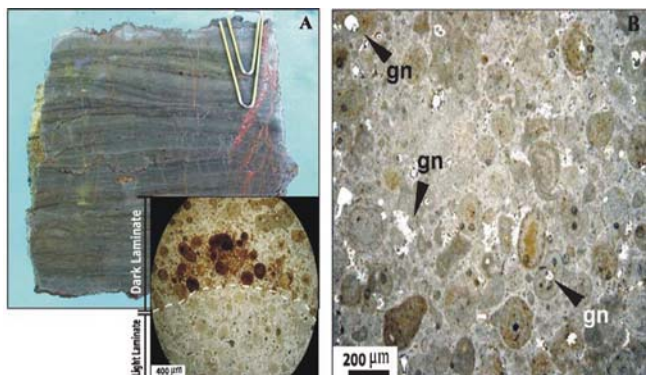
احمد آباد



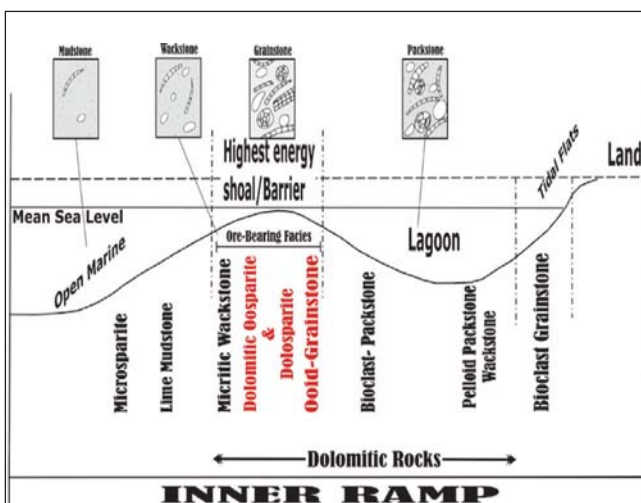
شکل ۴-۴) مقطع سنگزه مین شیمیایی A-A' و ارتباط تغییر مقادیر در صد SiO_2 و عناصر Zn, Pb, Mo (بر حسب ppm) در بخش کانه دار با واحد دولومیتی MgO و (B) ارتباط کانه زایی با رخساره های رسوبی سنگ درونگیر TR_{sh}



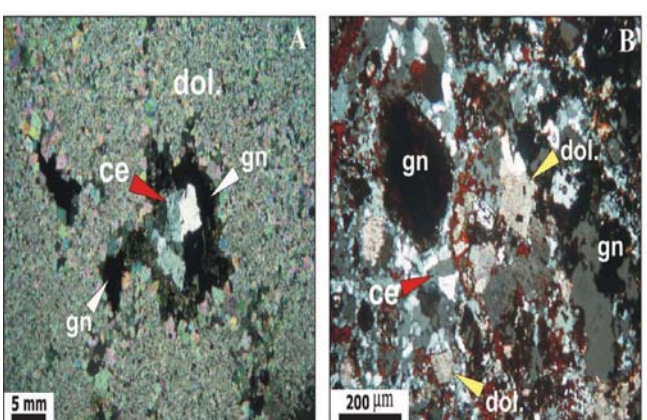
شکل ۶- رخساره اوتیپارایت دولومیتی: (A) اثوییدهای مرکب همراه با تخلخل پنجه‌های (فنسنال) (پیکان سرخ) که بلورهای دولومیت به شکل سیمان از حاشیه تخلخل در حال تبلور هستند، سیمان اسپارایتی مجموعه اوثییدها را در بر گرفته است. (B) پیریت‌های (py) خودشکل و گالن (gn) که به شکل دانه‌پراکنده در متن رخساره دیده می‌شوند (نور عبوری، ۵X).



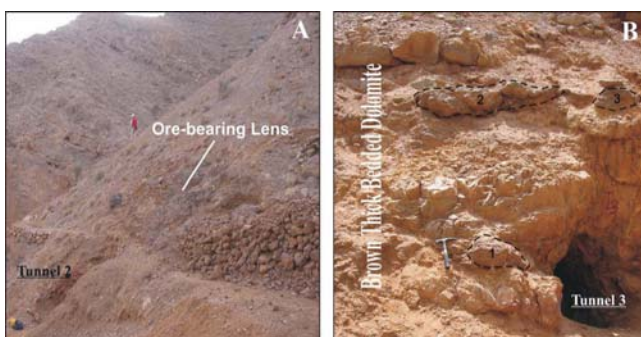
شکل ۵- رخساره اوتیپارایت- گرینستون: (A) لامیناسیون ظریف با تنوعی از بخش‌های تیره و روشن که هر دو بخش از اوثییدهای آلوکم ساخته شده‌اند و تغییر رنگ مربوط به تمرکز گوتیت در بخش‌های تیره است. (B) گالن‌های (gn) دانه‌پراکنده در متن رخساره اوتیپارایت گرینستون و در هسته‌های اوثیید تشکیل شده‌اند (نور بازتابی- عبوری، 10X).



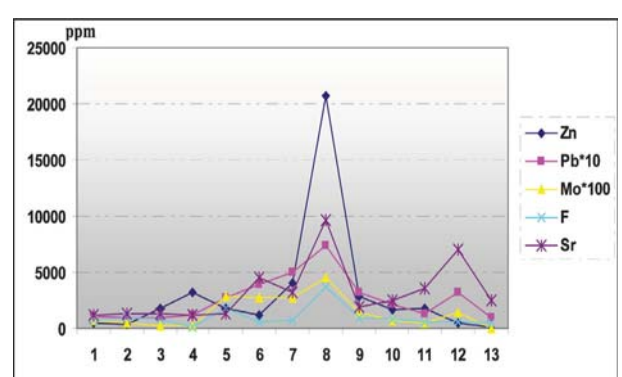
شکل ۸- مدل شماتیک محیط رسوبی و رخساره‌های کانه‌دار در منطقه معدنی احمدآباد- براساس (Reading, 1996).



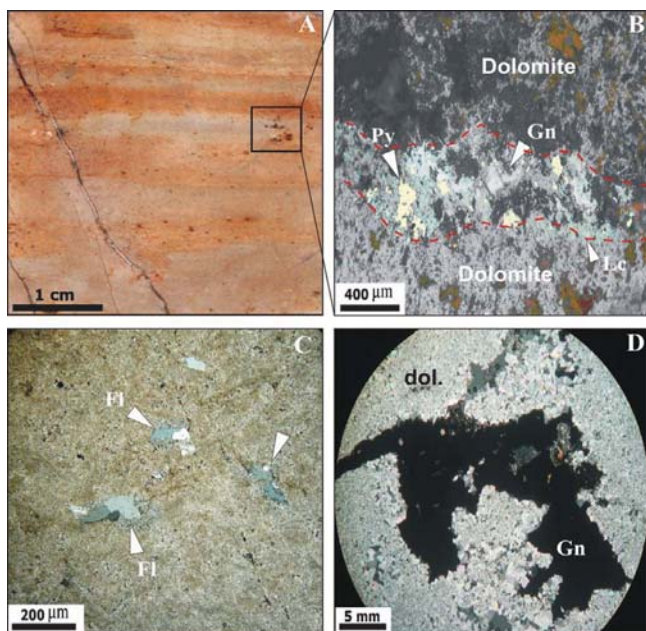
شکل ۷- رخساره دولوسپارایت: (A) در این رخساره ارتباط دولومیت (dol) و گالن (gn) و چگونگی تبدیل گالن به سروسیت (Ce) قابل مشاهده است. (B) گالن به شکل فضای پرکن تشکیل شده دولومیت (dol) به صورت جزیره‌ای در بین گالن‌ها و سروسیت‌ها دیده می‌شود (نور عبوری).



شکل ۱۰- (A) ژئومتری عدسی شکل از ماده معدنی در واحد دولومیتی. (B) عدسی‌های متناوب ماده معدنی و هم‌رونمندی آنها با لایه‌بندی سنگ درونگیر (شماره‌های ۱ و ۲ و ۳ به عدسی‌های کانه‌دار اشاره دارد).



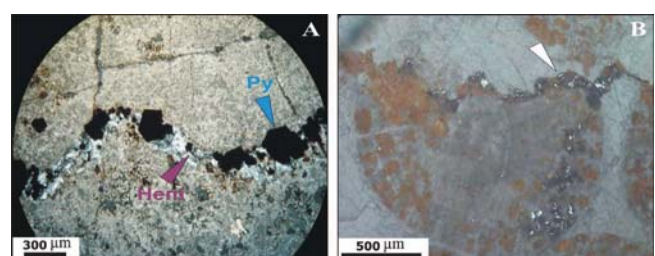
شکل ۹- هم‌رونندی افزایش عناصر روی، سرب، مولیبدن، فلورور و استرونسیم در بخش کانه‌دار (در مقطع A-A').



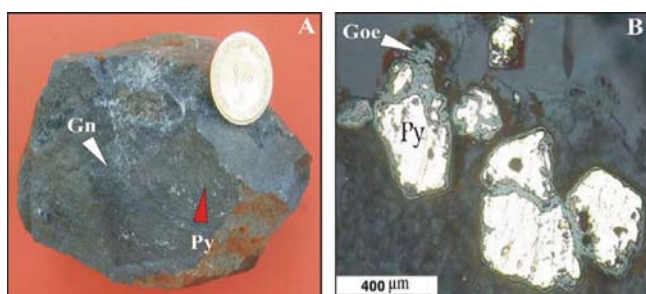
شکل ۱۲- (A) نمایی از لامیناسیون‌های کانه‌دار در رخساره اثوید-گرینستون. (B) بلورهایی از پیریت و گالن در لامینه کانه‌دار، در تناوب با دولومیت، در رخساره اثوید گرینستون (Gn= Galena, Py= Pyrite, Lc= Lepidocrocite) (Gn= Galena, Py= Pyrite, Lc= Lepidocrocite) (Gn= Galena, Py= Pyrite, Lc= Lepidocrocite). (C) فلوریت با بافت دانه‌پراکنده در رخساره دولواسپارایت (نور عبوری، 2.5X). (D) گالن با بافت فضای پر کن در رخساره دولواسپارایت-نور عبوری.



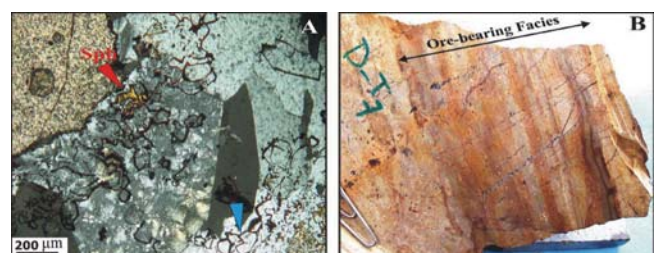
شکل ۱۱- نمایی از دولومیت‌های TR_{sh3} و فعالیت‌های معدنی که در آنها انجام گرفته است، به هم‌روندی فعالیت‌های معدن‌کاری با لایه‌بندی توجه شود (دهانه تونل‌ها با پیکان مشخص شده است).



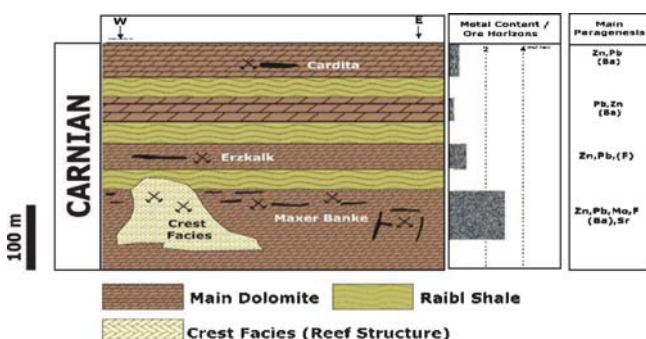
شکل ۱۳- بافت استیلویلت در رخساره اثوید-گرینستون: (A) تمرکز اکسید‌آهن و پیریت (Py) و کانی‌های اکسیدی روی مانند همی مورفیت (Hem) در سطح استیلویلت-نور عبوری. (B) تمرکز اکسید‌آهن در سطح استیلویلت، در نمایی نزدیک‌تر (نور بازتابی، 32X)



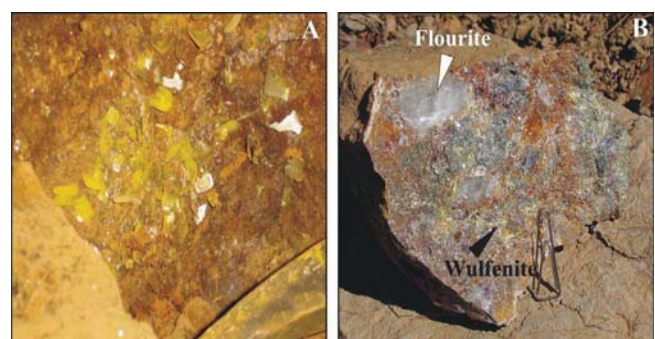
شکل ۱۵- (A) بافت توده‌ای گالن و پیریت (B) جانشینی کانی پیریت توسط کانی هیدروکسیدی گوتیت (Goe) که نشانگر ماهیت سولفیدی اولیه می‌باشد (Oil, 20X/0.40).



شکل ۱۴- (A) باقیمانده‌های از سولفیدهای اولیه مانند اسفالریت (Sph) که در رگچه‌های حاوی همی مورفیت باقی مانده است، به ساختار تیغه‌ای کشیده اسفالریت (فلش پایین) که توسط اکسید‌آهن و روی جانشین شده است توجه کنید-نور عبوری. (B) محدود بودن رگچه‌های حاوی روی به رخساره کانه‌دار عبوری.



شکل ۱۷- نمایی کلی از توالی چینه شناسی در کانسار بلایرگ و چهار افق اصلی کانه‌دار آن



شکل ۱۶- (A) بلورهای تیغه‌ای و تراگونوکل و لُفنتیت که همراه با لیمونیت در بخش سوپرژن مشاهده می‌شوند. (B) همراهی فلوریت‌های ثانویه با بلورهای وُلفنیت.

کتاب‌نگاری

- آدابی، م، ح، ۱۳۸۳- ژئوشیمی رسوبی، انتشارات آرین زمین، ۴۷۵ ص.
- آقاباتی، ع، ۱۳۸۲- زمین‌شناسی ایران، انتشارات سازمان زمین‌شناسی و اکتشافات معدنی کشور، ۵۸۳ ص.
- امیری، ع، ۱۳۸۴- نگرشی نو بر کانسارهای استراتیباند غیر سولفیدی روی و سرب در ناحیه کوهبنان- بهاباد- نهمین همایش انجمن زمین‌شناسی ایران.
- تاج‌الدین، ح، ۱۳۸۱- معرفی و بررسی کانه‌سازی مولیبدن در کانسار سرب و روی احمدآباد، گزارش سازمان زمین‌شناسی و اکتشافات معدنی کشور.
- تاج‌الدین، ح، و دُری، م.ب، ۱۳۸۳- بررسی کانه‌زایی مولیبدنیوم با سنگ میزان کربناته در معدن متروکه سرب و روی احمدآباد (شمال‌شرق بافق)، هشتمین همایش انجمن زمین‌شناسی ایران.
- جوانشیر، ع، راستاد، ا، و مهری، ب، ۱۳۸۵- افق‌های کانه‌دار کانسار روی، سرب و مولیبدن احمدآباد در سازند شتری و مقایسه آن با کانسار روی، سرب و مولیبدن در تریاپس آلب در اتریش، بیست و پنجمین گردهمایی علوم زمین‌سازمان زمین‌شناسی کشور. Bleiberg سیزه‌ئی، م، و افروز، ع، ۱۳۶۹- تحلیلی بر مسائل سرب و روی در ایران مرکزی: مناطق راور- کرمان- کوهبنان- رفسنجان- گزارش طرح پی جویی سرب و روی.
- شمس، ن، و فتحیان‌پور، ن، ۱۳۶۸- دیدار و مطالعه مقدماتی منطقه بافق، گزارش شماره ۳ طرح پی جویی مقدماتی سرب و روی، سازمان زمین‌شناسی کشور.
- فیض‌نیا، س، ۱۳۷۷- سنگ‌های رسوبی کربناته، انتشارات آستان قدس رضوی، ۳۰۴ ص.
- قاسمی، م، ۱۳۸۵- نحوه تشکیل کانسار روی- سرب مهدی‌آباد یزد و مقایسه آن با سایر کانسارهای کرتاسه اطراف مهدی‌آباد. پایان‌نامه کارشناسی ارشد، پژوهشکده علوم زمین، سازمان زمین‌شناسی و اکتشافات معدنی کشور.
- قربانی، م، تاجیخیش، پ، و خوئی، ن، ۱۳۷۹- کانسارهای سرب و روی در ایران، سازمان زمین‌شناسی و اکتشافات معدنی کشور، طرح تدوین کتاب زمین‌شناسی- شماره ۷۵.
- کان‌ایران، ۱۳۷۱- طرح اکتشافات مقدماتی و تفصیلی سرب و روی سراسری، کانسار احمدآباد.
- کمالی فرج‌الهزاده، ع، ۱۳۸۳- تحلیل هندسی و جنبشی گسل کوهبنان (حدفاصل چترود- کوهبنان)، پایان‌نامه کارشناسی ارشد، دانشکده علوم پایه، دانشگاه تربیت-مدرس.
- مؤمن‌زاده، مرتضی، ۱۳۵۹- گزارش مقدماتی بازدید از ذخایر سرب، روی و آهن در ناحیه ساغند- بافق- کرمان، سازمان زمین‌شناسی کشور.

References

- Alavi, M., 1991- Sedimentary and structural characteristics of the Paleo-Tethys remnants in northeastern Iran. Geol. Soc. of Amer. Bull. Vol:103, p 983-992.
- Bäuerle, G., Bornemann, O., Mauthe, F. & Michalzik, D., 2000- Origin of stylolites in Upper Permian Zechstein anhydrite (Gorleben Salt Dome, Germany). - J. Sed. Research, A70, 726-737.
- Borg, G., 2005- Geological and economical significance of supergene nonsulphide zinc deposits in Iran and their exploration potential. 20th WMC. 7-11 Nov. Teh. Iran.
- Carozzi, A.V., 1989- Carbonate rocks depositional model, Prentice Hall Newjersey, 604P.
- Cerny, I., 1989- Current prospecting strategy for carbonate-hosted Pb-Zn mineralization at Bleiberg-Kreuth (Austria), Econ. Geol., Vol: 84, p.1430-1435.
- Daliran, F. & Borg, G., 2005- Genetic aspects of the Angouran nonsulphide zinc ore deposit, NW-Iran, as an exploration guide for nonsulphide zinc ores. 20th WMC. 7-11 Nov. Teh. Iran.
- Flugel, E., 2004- Microfacies of Carbonate Rocks, Springer-Verlag, Germany. 976P.
- Gilg, H.A., Boni, M., Balassone, G., Allen, C.R., Banks, D. & Moore, F., 2006- Marble-hosted sulfide ores in the Angouran Zn-(Pb-Ag) deposit, NW Iran: interaction of sedimentary brines with a metamorphic core complex, Mineralium Deposita, 41: 1-16.
- Hitzman, M.W. & Beaty, D.W., 1996- The Irish Zn-Pb- (Ba) Orefield, in Sangster, D.F., (ed.), Carbonate-hosted Lead-Zinc Deposits, Society of Econ., Geologists, Spec., Pub., No. 4, p.112-143.
- Hitzman, M.W., Reynolds, N.A., Sangster, D.F., Allen, C.R. & Carman, C.E., 2003- Classification, Genesis, and exploration guides for nonsulphide zinc deposits, Econ. Geol., Vol. 98, No. 4, p. 685-714.
- Huckriede, R., Kuersten, M. & Venzlaff, H., 1962- Zur Geologie des Gebietes Zwischen Kerman und Sagand (Iran) Beith. Geol. Jahb. Vol:51.
- Leach, D.L., Bechstadt, T., Boni, M. & Zeeh, S., 2003- Triassic-hosted MVT Zn-Pb ores of Poland, Austria, Slovenia and Italy, Irish Association for Economic Geolgy, pp169-214.
- Leach, D.L., Sangster, D.F., 1993- Mississippi Valley-type lead-zinc deposits, in: Kirkham, R.V., Sinclair, W.D., Thrope, R.I., and Duke, J.M., (eds.), Mineral Deposit Modeling: Geological Association of Canada, Special Paper 40, p.289-314.
- Leach, D.L., Sangster, D.F., Kelley, K.D., Large, R.R., Garven, G., Allen, C.R., Gutzmer, J. & Walters, S., 2005- Economic geology 100th Anniversary Volume, Society of Economic Geologists, p.561-607.
- Miall, A.D., 1990- Principles of sedimentary basin analysis, 2nd ed., Springer-Verlag, New york. 668P.
- Reading, H.G., 1996- Sedimentary Environments: Processes, Facies and Stratigraphy, 3th Edition, Blackwell Science Ltd., 688P.
- Sarkar, S.C. & Banerjee, S., 2004- Carbonate-hosted lead-zinc deposits of Zawar, Rajasthan, in the context of the world scenario, in Deb, M. & Goodfellow, W.D., (eds.) Sediment-hosted lead-zinc sulphide deposits, Narosa Pub. House, p.328-349.
- Schroll, E. & Rantitsch, G., 2005- Sulphur isotope patterns from the Bleiberg deposit (Eastern Alps) and their implications for genetically affiliated lead-zinc deposits. Miner & Petrol. Vol. 89:1-18
- Schroll, E., 1996- The Triassic carbonate-hosted Pb-Zn mineralization in the Alps (Europe): The genetic position of Bleiberg type deposits. in Sangster, D.F., (ed.) Carbonate-hosted lead-zinc deposits, Special Pub. No.4, Society of Economic Geologists.
- Schroll, E., 2005- Alpine type Pb-Zn-deposits (APT) hosted by Triassic carbonates, in: Mao, J., and Bierlein, F.P., (eds.) Mineral Deposit Research: Metting the global challenge, proceeding of the 8th biennial SGA meeting, Beijing, China, Vol: 1, 2, 1613P.
- Schroll, E., Koppel, V. & Cerny, I., 2006- Pb and Sr isotope and geochemical data from the Pb-Zn deposit Bleiberg (Austria): constraints on the age of mineralization. Miner & Petrol. Vol.86:129-156.
- Takahashi, T., 1960- Supergene alteration of zinc and lead deposits in limestone, Econ. Geol., Vol: 55, p.1083-1115.